

## ВЛИЯНИЕ ЧИСЕЛ ПЕКЛЕ СРЕДЫ НА ТЕПЛООБМЕН В ПУЧКАХ ВОЛОКОН

УДК 536.25

В. И. Елисеев, Ю. П. Совит

Днепропетровский государственный университет,  
320625 Днепропетровск

Формование синтетических нитей проводится как в газовых (формование из расплава, сухое формование), так и в жидких средах (мокрое формование и смешанное). Широкий разброс физических параметров сред, в которых движутся пучки формирующихся волокон, делает актуальным вопрос о влиянии этих параметров на интенсивность тепло- и массообмена.

Для одиночного волокна эта задача может быть решена численно при задании соответствующих граничных условий. С помощью численных и приближенных методов в рамках теории пограничного слоя проведен обширный анализ (см., например, [1, 2]) влияния теплофизических параметров среды (числа Прандтля  $Pr$ ) на теплообмен обтекаемых поверхностей, в результате чего выявлены некоторые закономерности и соотношения. Для пучков только при определенных схемах компоновки волокон также возможна четкая постановка задачи в рамках модели Навье — Стокса или пограничного слоя. Однако в общем случае движения формирующегося пучка нет простых правильных геометрических схем расположения волокон. В связи с этим для описания процессов переноса в таких системах используется более общее представление — модель фильтрационного течения в пористом теле. Такой подход для численного моделирования теплообмена в формирующихся пучках развивается авторами в ряде работ (в частности, в [3, 4], где сформулированы основные уравнения, граничные условия и приведены результаты численного анализа конкретных вариантов).

Важной особенностью модели фильтрационного течения является неопределенность величин динамического, теплового и массообменного взаимодействия потока с нитью (элементом дисперсной среды). Для аналитического нахождения этих параметров течения в механике гетерогенных сред широко применяется метод ячеек [5, 6]. Согласно этому методу, решение определенной задачи проводится в области, окружающей элемент, с граничными условиями на внутренней поверхности, продиктованными физическими условиями, и некоторым набором условий на внешней границе ячейки, используемых разными авторами в соответствии со своими предположениями. В [3, 4] для замыкания задачи динамики и теплообмена предложены интегральные условия, дающие возможность связать параметры взаимодействия с локальными фильтрационными параметрами течения.

В данной работе устанавливаются условия справедливости ранее полученных зависимостей, дается приближенный метод расчета и находятся параметры теплообмена при различных числах Пекле  $Pe$ .

**1. Теплообмен в ячейке.** Для нахождения теплового потока на поверхности движущейся в пучке нити выпишем уравнения пограничного слоя в осесимметричной системе

координат  $x, r$ :

$$u \frac{\partial u}{\partial x} + v \frac{\partial u}{\partial r} = - \frac{dp}{\rho dx} + \nu \frac{\partial}{r \partial r} \left( r \frac{\partial u}{\partial r} \right), \quad \frac{\partial(ru)}{\partial x} + \frac{\partial(rv)}{\partial r} = 0, \quad (1.1)$$

$$\rho c_p \left( u \frac{\partial T}{\partial x} + v \frac{\partial T}{\partial r} \right) = \lambda \frac{\partial}{r \partial r} \left( r \frac{\partial T}{\partial r} \right).$$

Здесь  $u, v$  — компоненты вектора скорости, соответствующие осям  $x, r$ ;  $p$  — давление;  $\rho$  — плотность;  $T$  — температура;  $c_p$  — коэффициент теплоемкости;  $\nu$  — кинематический коэффициент вязкости;  $\lambda$  — коэффициент теплопроводности. Замыкающими условиями для этой системы служат граничные условия на поверхности нити

$$u(r_n) = U_n, \quad T(r_n) = T_n \quad (1.2)$$

( $U_n, T_n$  — скорость и температура нити) и интегральные условия

$$2\pi \int_{r_n}^{r_\Delta} r u dr = \pi r_\Delta^2 u_\phi = \pi (r_\Delta^2 - r_n^2) U_{cp}, \quad 2\pi \int_{r_n}^{r_\Delta} r u T dr = \pi r_\Delta^2 u_\phi T_\phi = \pi (r_\Delta^2 - r_n^2) U_{cp} T_{cp}, \quad (1.3)$$

где  $r_n$  — радиус нити;  $r_\Delta$  — внешний радиус ячейки;  $u_\phi$  — фильтрационная скорость среды в ячейке;  $T_\phi$  — фильтрационная температура среды;  $U_{cp}$  — средняя скорость газа по ячейке;  $T_{cp}$  — средняя калориметрическая температура.

В силу того что положенные в основу рассмотрения теплообмена уравнения осесимметричного пограничного слоя (1.1) являются двумерными и не имеют точных аналитических решений при произвольных  $U_n$  и  $T_n$ , необходимо найти приближенные решения или свести (1.1) к одномерным дифференциальным уравнениям, вписывающимся в контекст полной задачи о теплообмене движущегося пучка нитей. Для получения простых аналитических выражений в [3, 4] был использован метод последовательных приближений, при этом в качестве нулевого приближения принималось решение укороченных уравнений системы (1.1) с отброшенными левыми частями:

$$u = U_n + \frac{1}{4} \frac{dp}{\mu dx} (r^2 - r_n^2) + \left[ U_\Delta - U_n - \frac{1}{4} \frac{dp}{\mu dx} (r_\Delta^2 - r_n^2) \right] \frac{\ln(r/r_n)}{\ln(r_\Delta/r_n)}, \quad (1.4)$$

$$T = T_n + (T_\Delta - T_n) \frac{\ln(r/r_n)}{\ln(r_\Delta/r_n)}$$

( $U_\Delta$  и  $T_\Delta$  находятся из соотношений (1.3)).

Метод последовательных приближений довольно прост и дает аналитические выражения при рассмотрении ряда задач, что делает его удобным для получения приближенных решений и оценок. Он нашел свое применение в теории пограничного слоя (одной из первых работ является [7]) и может с успехом использоваться при постоянных теплофизических параметрах (достоинства и недостатки метода обсуждаются в [8, 9]). В нашем случае он позволяет органично получить систему формпараметров, аналогичных вводимым в многопараметрическом методе [10], и выявить, таким образом, степень неравновесности течения. Согласно многопараметрическому методу, течение и теплообмен в пограничном слое характеризуются бесконечной системой формпараметров, которые определяют в общем случае степень неравновесности течения, поэтому чем они меньше по абсолютной величине, тем процесс ближе к стабилизированному.

Выражения (1.4), строго говоря, являются решениями стабилизированного течения.

Изменение  $U_n$ ,  $T_n$ , а также  $U_{cp}$  и  $T_{cp}$  вдоль оси  $x$  в них учитывается параметрически, но это не дает возможности учесть влияние продольных градиентов скоростей и температур, создающих неравновесность в потоках. Следующее приближение может восполнить этот недостаток. Однако найденные авторами данной работы решения показали неэффективность их использования вследствие невысокой точности при  $Pe \gg 1$  и значительной громоздкости аналитических выражений. Ввиду этого предлагается метод, позволяющий получить простое аналитическое решение, сочетающее в себе нулевое и первое приближения. Идея его близка к идее работы [11], где производная от температуры по продольной координате заменяется постоянной величиной. В данном случае для получения аналитического решения заменим  $u(\partial T/\partial x)$  средними значениями  $U_{cp}(dT_{cp}/dx)$ , тогда решение уравнения

$$\lambda \frac{\partial}{r \partial r} \left( r \frac{\partial T}{\partial r} \right) = \rho c_p U_{cp} \frac{dT_{cp}}{dx}$$

имеет вид

$$T = \frac{Pe}{4} (n^2 - n_*^2) \frac{dT_{cp}}{d\xi} + T_n + \left[ T_\Delta - T_n - \frac{Pe}{4} (1 - n_*^2) \frac{dT_{cp}}{d\xi} \right] \frac{\zeta}{\zeta_*}, \quad (1.5)$$

где  $\xi = x/r_\Delta$ ;  $n = r/r_\Delta$ ;  $n_* = r_n/r_\Delta$ ;  $\zeta = \ln(n/n_*)$ ;  $\zeta_* = \ln(1/n_*)$ ;  $Pe = RePr$ ;  $Re = r_\Delta U_{cp}/\nu$ ;  $Pr = \rho c_p \nu/\lambda$ . Из (1.5) после определения  $T_\Delta$  из второго условия (1.3) получим тепловой поток на поверхности нити  $q_n$ .

Для проверки точности выписанного решения рассмотрим модельную задачу о теплообмене в бесконечном кольцевом канале при стабилизированном движении жидкости с профилем скорости

$$u = U_{cp} A \left[ n^2 - n_*^2 - (1 - n_*^2) \frac{\zeta}{\zeta_*} \right], \quad A = \left[ (1 - n_*^2) - \frac{2\zeta_* - (1 - n_*^2)}{\zeta_*} \right]^{-1},$$

удовлетворяющим нулевым условиям на внешней и внутренней стенке. Граничные условия для температуры зададим простыми выражениями

$$T(1) = 0, \quad T(n_*) = 1 + \exp(\alpha \xi), \quad (1.6)$$

которые дают возможность сравнительно просто найти точное решение. Оно может быть численно получено, если положить  $T = T_n + T_\alpha \exp(\alpha \xi)$ , где  $T_n = 1 - \zeta_*^{-1} \zeta$ , а  $T_\alpha$  удовлетворяет следующему уравнению и граничным условиям:

$$\frac{d^2 T_\alpha}{dn^2} + \frac{dT_\alpha}{n dn} = \alpha Pe A \left[ n^2 - n_*^2 - (1 - n_*^2) \frac{\zeta}{\zeta_*} \right] T_\alpha, \quad T_\alpha(n_*) = 1, \quad T_\alpha(1) = 0.$$

Сравнение результатов точного и приближенного решений, приведенных в табл. 1 ( $\alpha = 1$ ) и 2 ( $\alpha = -1$ ), показывает, что при  $Pe = 1$  совпадение величин  $q_T = \partial T/\partial n_{n=n_*}$  (точное решение) и  $q_p = \partial T/\partial n_{n=n_*}$  (приближенное) как для  $\alpha = 1$ , так и для  $\alpha = -1$  довольно хорошее. При  $Pe = 10$  совпадение также удовлетворительное, при  $Pe = 100$  для  $\alpha = 1$  отличие уже становится существенным. Однако необходимо отметить, что в модельной задаче продольные градиенты температуры, для которых проводится сравнение, имеют множитель от  $\exp(-2)$  до  $\exp(2)$ , в то время как в реальных условиях на участке с наиболее интенсивным охлаждением он меньше 0,01. Это указывает на возможность использования найденного приближенного решения для расчетов теплообмена нитей в движущихся пучках.

Таблица 1

$\xi$	Pe	$q_T$	$q_P$
-2	1	-24,85	-24,77
	10	-25,62	-25,14
	100	-27,06	-25,38
0	1	-44,87	-44,31
	10	-50,57	-47,05
	100	-61,25	-48,79
2	1	-192,8	-188,7
	10	-234,9	-208,9
	100	-313,8	-221,8

Таблица 2

$\xi$	Pe	$q_T$	$q_P$
-2	1	-167,6	-172,7
	10	-278,1	-280,6
	100	-262,8	-255,5
2	1	-24,39	-24,48
	10	-26,41	-26,46
	100	-26,13	-26,00

**2. Некоторые результаты аналитического и численного анализа.** Рассмотрим ряд простых задач, имеющих как теоретическое, так и практическое значение. Будем считать пучок достаточно толстым, т. е. таким, что в соответствии с решениями [12] непосредственное влияние граничных условий на границе пучка экранируется и течение можно принять гидродинамически стабилизированным. В этом случае теплообмен в центральной зоне пучка можно считать процессом, проходящим в бесконечных пучках, вследствие чего уравнение теплообмена, полученное в [3, 4], может быть упрощено и записано в виде

$$\varepsilon \text{Pe} \frac{dT_\Phi}{d\xi} = 2n_* \left[ a(T_H - T_\Phi) + b \text{Pe} \frac{dT_\Phi}{d\xi} \right], \quad (2.1)$$

где  $\varepsilon$  — порозность пучка;  $a = (1 - n_*^2)u_\Phi / (2n_*U_a)$ ; второе слагаемое в скобках является добавкой, связанной с градиентом фильтрационной температуры;

$$b = \frac{1}{4n_*} \left( \frac{U_b}{U_a} - 2n_*^2 \right); \quad U_a = \frac{1}{4} \frac{r_\Delta^2 dp}{\mu dx} i_1 + U_H i_2 + \zeta_*^{-1} U_c i_3;$$

$$U_b = \frac{1}{4} \frac{r_\Delta^2 dp}{\mu dx} i_4 + U_H i_5 + \zeta_*^{-1} U_c i_1; \quad U_c = \frac{2\zeta_*(1 - n_*^2)}{2\zeta_* - 1 + n_*^2} \left( u_\Phi - U_H - \frac{1}{4} \frac{r_\Delta^2 dp}{\mu dx} (1 - n_*^2) \right);$$

$$i_1 = 0,25[(1 - 2n_*^2)\zeta_* - 0,25(1 - 3n_*^2)(1 - n_*^2)];$$

$$i_2 = 0,5[\zeta_* - 0,5(1 - n_*^2)]; \quad i_3 = 0,5[\zeta_*^2 - \zeta_* + 0,5(1 - n_*^2)];$$

$$i_4 = 0,166[(1 - n_*^6) - 3n_*^2(1 - n_*^4) - 3n_*^4(1 - n_*^2)]; \quad i_5 = 0,25(1 - n_*^2)^2.$$

Рассмотрим три случая: 1) стержни имеют постоянную температуру; 2) теплообмен с постоянным тепловыделением с поверхностями стержней; 3) сопряженный теплообмен.

В первом случае уравнение (2.1) можно переписать в виде

$$\text{Pe}(\varepsilon - 2n_*b) \frac{d(T_\Phi - T_H)}{d\xi} = -2n_*a(T_\Phi - T_H),$$

тогда его решение имеет простое выражение

$$T_\Phi - T_H = B \exp(-\chi\xi), \quad \chi = \frac{2n_*a}{\text{Pe}(\varepsilon - 2n_*b)}, \quad (2.2)$$

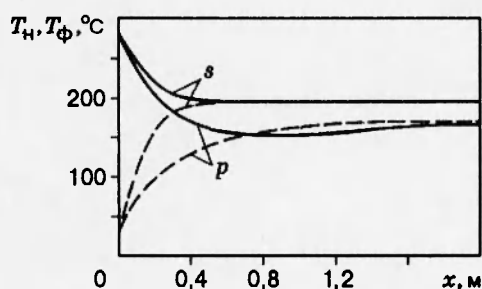


Рис. 1

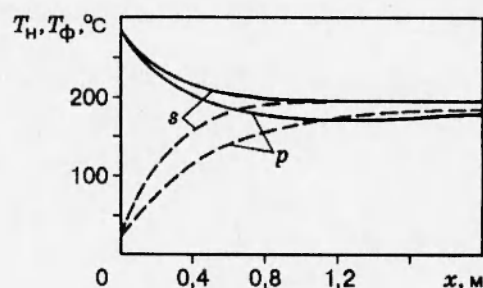


Рис. 2

откуда следует, что число Нуссельта

$$Nu_n = \frac{n_*}{T_\phi - T_n} \frac{\partial T}{\partial n_{n=n_*}} = \frac{\epsilon n_* a}{\epsilon - 2n_* b} \quad (2.3)$$

не зависит от числа Пекле среды.

Во втором случае при постоянном тепловыделении имеем уравнения

$$\rho c_p u_\phi \frac{dT_\phi}{d\xi} = 2n_* q_n, \quad q_n = \frac{\lambda}{r_\Delta} \left[ a(T_n - T_\phi) + bPe \frac{dT_\phi}{d\xi} \right] = \text{const} \quad (2.4)$$

с простыми решениями

$$T_\phi = 2 \frac{n_* q_n}{\rho c_p u_\phi} \xi, \quad T_\phi - T_n = -\frac{r_\Delta}{\epsilon \lambda a} q_n (\epsilon - 2n_* b).$$

Из них следует  $Nu_n = \epsilon n_* a / (\epsilon - 2n_* b)$ , т. е. число Нуссельта полностью совпадает с выражением (2.3).

В третьем случае к уравнению (2.1) добавим уравнение теплообмена для нити, которое запишем в виде

$$Pe_n \frac{dT_n}{d\xi} = 2 \frac{\lambda}{\lambda_n} \left[ a(T_n - T_\phi) + bPe \frac{dT_\phi}{d\xi} \right], \quad (2.5)$$

где  $Pe_n = \rho_n c_{pn} r_n U_n / \lambda_n$ ;  $\rho_n$  — плотность материала;  $c_{pn}$  — коэффициент теплоемкости материала;  $\lambda_n$  — коэффициент теплопроводности в волокне. После несложных преобразований (2.1) и (2.5) можно свести к уравнению

$$Pe(\epsilon - 2bS_*) \frac{d(T_\phi - T_n)}{d\xi} = 2aS_*(T_\phi - T_n) \quad \left( S_* = n_* + \frac{n_*(\epsilon - 2n_*b)Pe}{Pe_n + 2(\lambda/\lambda_n)n_*bPe} \frac{\lambda}{\lambda_n} \right).$$

Используя решения типа (2.2), получим  $Nu = \epsilon n_* a / (\epsilon - 2S_* b)$ . Это выражение по форме совпадает с формулой (2.3), но содержит числа Пекле для течения среды в межниточном пространстве и для движущейся нити.

Рассмотрим вопрос о влиянии числа Прандтля среды на теплообмен движущихся в трубе пучков нитей. На рис. 1–4 приведены результаты расчетов модельных задач соответственно для  $Pr = 0,5; 1; 5; 10$ . В расчетах было принято: радиус трубы  $R_{тр} = 0,1$  м, радиус пучка  $R_n = 0,05$  м, радиус волокна  $r_n = 0,125 \cdot 10^{-3}$  м, скорость нитей  $U_n = 0,3$  м/с, количество волокон  $N = 100$ , начальная температура волокна  $T_{n0} = 290$  °С, начальная температура газа  $T_{\phi 0} = 20$  °С, температура стенки канала  $T_w = 20$  °С, значение  $Pr$  изменялось только за счет коэффициента теплопроводности среды.

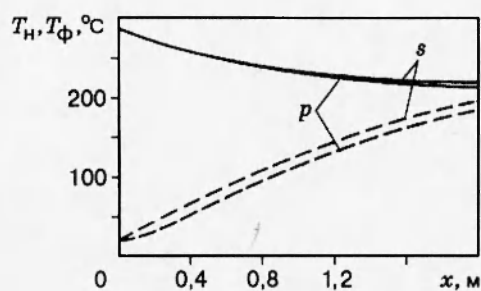


Рис. 3

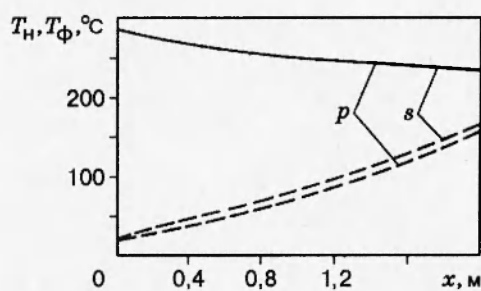


Рис. 4

Как следует из рисунков, интенсивность теплообмена с ростом  $P_r$  уменьшается, в результате чего температура нитей  $T_n$  (сплошные кривые) при больших значениях  $P_r$  снижается медленнее, чем при низких значениях  $P_r$ .

Другим важным отличием является то, что при небольших  $P_r$  расхождение значений как температуры нитей в центре  $s$  и на поверхности пучка  $p$ , так и температуры среды (штриховые линии) в тех же точках довольно заметное. С увеличением  $P_r$  оно сужается и при  $P_r = 10$  отличие составляет несколько градусов (на рис. 3, 4 кривые температуры нитей в центре и на границе пучка практически сливаются).

Таким образом, для данного варианта набора определяющих параметров уменьшение  $P_r$  приводит к большей неоднородности полей температуры среды и нитей в пучке. Неоднородность связана с влиянием стенки, температура которой значительно ниже, чем температура нитей. В результате этого при низких значениях  $P_r$  образуется более интенсивный теплоотвод из пучка, что приводит к большей неоднородности температурного поля внутри его. При этом интересно отметить, что температура газа в периферийных областях пучка (рис. 1, 2) становится даже больше температуры нитей. Вследствие чего, как хорошо видно из рис. 1 при  $P_r = 0,5$ , температура нитей на поверхности пучка после интенсивного охлаждения и пересечения кривой  $T_{ns}$  с кривой  $T_{fs}$  вновь начинает подниматься.

Несмотря на эти расхождения, значения  $Nu$  при таком широком разбросе чисел Прандтля меняются в более узком диапазоне. Так, в конце рассматриваемого участка при  $P_r = 0,5$ ;  $1$   $Nu = 0,42$ , а при  $P_r = 5$ ;  $10$   $Nu = 0,51$ . Отличие значений  $Nu$  в зависимости от места нахождения нити в пучке практически несущественно.

#### ЛИТЕРАТУРА

1. Шлихтинг Г. Теория пограничного слоя. М.: Наука, 1969.
2. Ерошенко В. М., Зайчик Л. И. Гидродинамика и тепломассообмен на проницаемых поверхностях. М.: Наука, 1984.
3. Елисеев В. И., Совит Ю. П. Свободно-конвективный теплообмен в открытых системах вертикальных стержней // ПМТФ. 1990. № 5. С. 88–94.
4. Елисеев В. И., Совит Ю. П. Теплообмен смешанной конвекцией в движущихся пучках стержней // ИФЖ. 1991. Т. 61, № 2. С. 230–239.
5. Хаппель Д., Бреннер Г. Гидродинамика при малых числах Рейнольдса. М.: Мир, 1976.

6. Нигматулин Р. И. Основы механики гетерогенных сред. М.: Наука, 1978.
7. Швец М. Е. О приближенном решении некоторых задач гидродинамики пограничного слоя // ПММ. 1949. Т. 13, № 3. С. 257–266.
8. Лойцянский Л. Г. Ламинарный пограничный слой. М.: Физматгиз, 1962.
9. Дорфман А. Ш. Теплообмен при обтекании неизотермических тел. М.: Машиностроение, 1982.
10. Лойцянский Л. Г. Механика жидкости и газа. М.: Наука, 1970.
11. Мигай В. К., Фирсова Э. В. Теплообмен и гидравлическое сопротивление пучков труб. Л.: Наука, 1986.
12. Елисеев В. И., Совит Ю. П. Гидродинамика и теплообмен в трубе с пучком движущихся стержней // Изв. АН Беларуси. Сер. физ.-энерг. наук. 1992. № 1. С. 76–83.

*Поступила в редакцию 7/XII 1994 г.,  
в окончательном варианте — 31/V 1995 г.*

---